

日本大学 工学部 正員 ○原 忠勝  
～ 理工学部 ～ 北田 勇輔

### 1. まえがき

鉄筋コンクリート梁のつり合ひ機構の変化についてでは、斜めひびわれ発生による平面保持が成立しない事に着目したもので、主鉄筋の抜き出し、アーチ、ロバトラス理論による検討がなされている<sup>1)</sup>。これらは、斜めひびわれ発生後の現象としてモデルとして取扱っていながら、崩壊過程についての連続的な検討が必要であるうえ思われる。また、最近、Leonhardt がこの種の問題に関して報告<sup>2)</sup>しておられ、こゝではこれらも併せ、刀身ツーフィラメント鉄筋コンクリート梁を用い、鉄筋の種類、 $a/d$  等を変えた 84 試験体についての崩壊実験の結果より得られたものがわかれ、アーチより内部つり合ひを打ち手掛りを求めた。そして、主鉄筋の応力変化<sup>3), 4)</sup>よりつり合ひの変化について検討したものである。

### 2. 方法および考察

鉄筋コンクリート梁の主応力線の様相とひびわれパターンには異様な関係<sup>5), 6)</sup>があると言われており、つり合ひ機構の変化を求めるのに、これら崩壊ひびわれの形状を定量的に知る必要が生じる。このため、これら崩壊ひびわれの形状を表現する諸量として、初期傾斜角  $\theta_A$ 、終局傾斜角  $\theta_B$ 、直線率  $K_s = L_a/L_s$  を挙げ、崩壊実験後の写真に基く簡便測定により求めた。 $\theta_A$  は丸鋼の場合、 $a/d$  の主鉄筋量によつて異なるが大体  $10^\circ \sim 15^\circ$  である。また、 $\theta_B$  は丸鋼及び異形、及び類似の傾向で、 $a/d = 3.5$  以上になると  $90^\circ$  付近の値となる。(図 -1, 2) において、異形の  $\theta_A$  は  $42.2^\circ (1 \pm 0.369)$  とまとめており、直線率は  $K_s = 1.04 (1 \pm 0.014)$  で山形<sup>7)</sup>の値より若干小さくなる。特に丸鋼については厚さの縮尺が小さいためか精度が悪く、 $K_s = 1.1 \sim 1.3$  程度の値になるものと思われる。又、特長的るものとして、丸鋼の場合、崩壊ひびわれの発生位置とひびわれ終点の傾きは約  $37^\circ$  附近で、異形の場合よりこの傾きが違う  $37^\circ$  で、このつり合ひをタイド・アーチ<sup>3)</sup>とし、マニーテイドとしての主鉄筋の伸びを考慮すれば、主鉄筋の伸びる引張力  $T_a$  は、対称二点荷重の場合、

$$T_a = \frac{\int_0^{l_0} \frac{M_o}{I_c} y \, dx}{\int_0^{l_0} \frac{y^2}{I_c} \, dx + \int_0^{l_0} \frac{\cos^2 \varphi}{A_c} \, dx + \frac{l_0 \cos \varphi}{m A_s}} = \frac{6(z-k)}{3(z-k)^2 + k^2 + k^3/m + \cos^2 \varphi} \cdot \frac{a}{d} P' = f(k, p_e) \frac{a}{d} P$$

(但し、 $R = z/d$ : 中立軸位置係数、 $\varphi$ : アーチ軸の傾き、 $P' = P/2$ ,  $m = E_s/E_{cu} = 10$ ,  $\varphi = 37^\circ$ ) ----- (1)

で表わされ、 $k = 0.2 \sim 0.5$  では  $f(k, p_e) \approx 0.52 \sim 0.56 (p_e = 1\%)$ ,  $0.56 \sim 0.58 (p_e = 2\%)$ ,  $0.56 \sim 0.60 (p_e = 3\%)$  である。また、各断面における主鉄筋のひびわれ変化は図 -3 に示す如く、初期ひびわれ発生より直線的に増加する。この傾きを (1) の  $f(k, p_e)$  として、崩壊ひびわれ発生位置での鉄筋ひびわれを求めるものは図 -4 ～ 6 に示す如くで、鉄筋の種類、特に異形を用いれば鉄筋量、 $a/d = 3.5$  で影響を受ける事を示す。

### 3. むとめ

鉄筋筋のひびわれのつり合ひ機構は斜めひびわれによつて変化するのではなく、それ以前の初期ひびわれの発生位置も変化する。そして、本実験の如く刀身ツーフィラメント定着の場合、通常の曲げ理論による  $T = M/y$  の分布と比較して、丸鋼の場合、崩壊ひびわれ発生位置が分配曲面を呈する場合が多い。また、異形の場合比較的モード二分布形状に似るが、その大きさは  $M/y$  に近づく傾向にある。さて、つり合ひ機構の変化は初期ひびわれ発生によつて、平均傾き  $\varphi = 37^\circ$  を有するタイド・アーチとしても差へば、梁支持点が即ちアーチ支持点とはならず、 $p_e = 1\%$  の場合、実験値が約 15% 大きい結果が得られる。故に、主鉄筋のせん断力の分配の影響を受けるものと考えられるので、今後はこの点を検討すべきと思われる。

Fig.-1

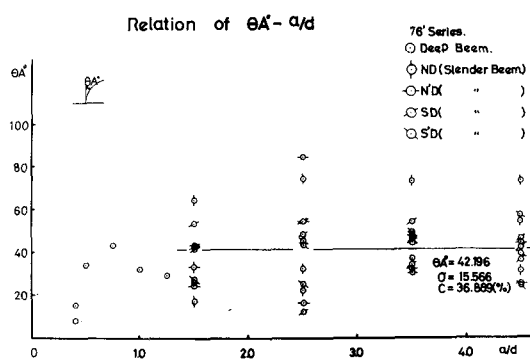


Fig.-2

Relation of  $K_s - a/d$

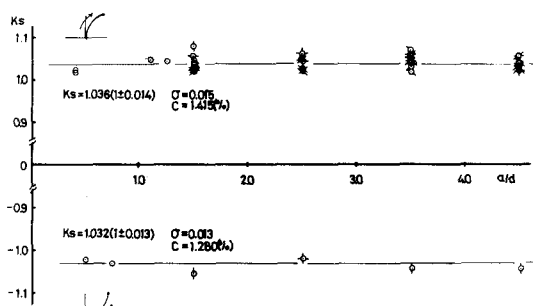
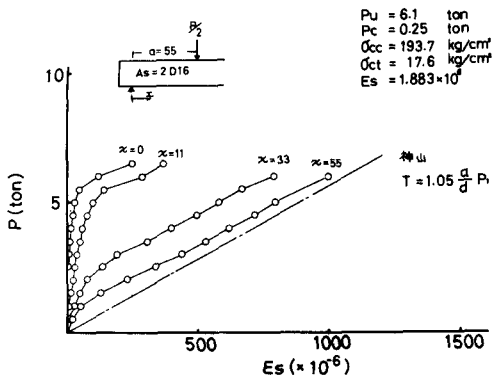


Fig.-3

Load-Steel Strain  
ND-76-1-2.5



### 参考文献

- 1) B. Brealer and J. G. MacGregor, "Proc. of ASCE, Vol. 93, No. ST 1, Feb., 1967, pp. 343-372"
- 2) F. Leonhardt, "2-71-ト構造物のせん断力に関する諸問題", 橋梁と基礎, Vol. 11, No. 4 (pp. 1~8), No. 5 (pp. 1~7), 1977
- 3) 神山一, "鉄筋コンクリート梁のせん断耐震機構", 2-71-ト-3-7-1, Vol. 6, No. 8, Aug., 1968, pp. 24~32
- 4) 原忠勝, "鉄筋コンクリート梁の主鉄筋応力分布", 昭和51年度土木学会東北支部, March, 1977
- 5) G.N.J. Kani, ACI Journal, V. 66, No. 3, March, 1969, 6) S.F. Adams, PhD, Univ. of Colorado, 1965, 244p.

Fig.-4

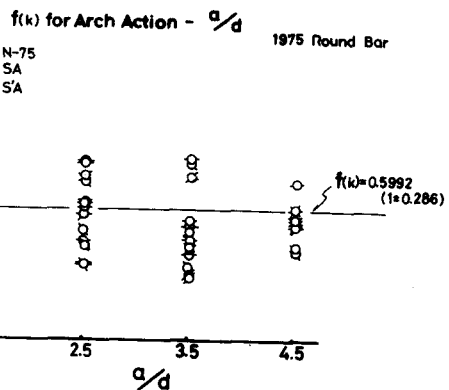


Fig.-5

$f(k)$  for Arch Action -  $a/d$   
1976 Deformed Bar  
 $P_t = 2D25 = 3\%$

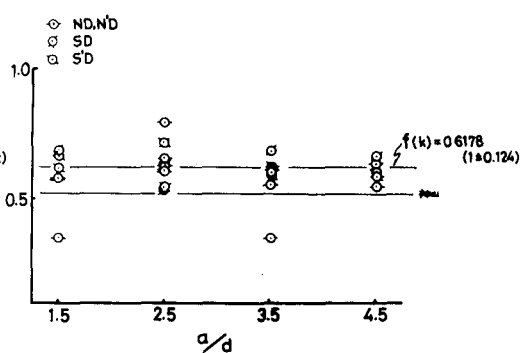


Fig.-6

$f(k)$  for Arch Action -  $a/d$

1976 Deformed Bar  
 $P_t = 2D16 = 1\%$

